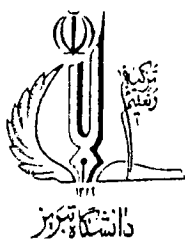




١٤٣٨٦٩ - ٢٠٢٢



دانشکده شیمی

گروه شیمی تجزیه

پایان نامه

برای دریافت درجه کارشناسی ارشد در رشته شیمی تجزیه

عنوان:

تهیه الکترود مغز مداد اصلاح شده با فیلم بیسموت و کاربرد آن در در  
الکتروکاتالیز و اندازه گیری برخی ترکیبات آلی

Preparation of modified pencil-lead electrode with bismuth film and its  
application in the electrocatalysis and determination of some organic compounds

استاد راهنما:

آقای دکتر کریم اسدپور زینالی  
دانشیار

استاد مشاور:

۱۳۸۰ / ۰ / ۴

آقای دکتر حسین داستانگو

پژوهشگر:

بروانه نجفی مرندی

تیر ۱۳۸۹

۱۴۵۸۳۴

## نیایش

الهی ، توانگران را به دیدن خانه خوانده ای ، و درویشان را به دیدار خداوند خانه ،  
آن سنگ و گل دارند و اینان جان ودل ، آنان سرگرم در صورتند و اینان محو در معنا ،  
خوش آن توانگری که درویش است .

پروردگارا چون تو حاضری چه جویم و چون تو ناظری چه گویم !

الهی به حق خودت حضورم ده و از جمال آفتاب آفرینت نورم !

بار الهی وای بر من اگر دانشم رهزنم شود و کتابم حجاب !

الهی حق محمد و آل محمد بر ما عظیم است ، «اللّٰهُمَّ صَلِّ عَلٰى مُحَمَّدٍ وَآلِ مُحَمَّدٍ».

تقدیم به بزرگترین تلاشگر نستوهم

پدر

تقدیم به فرشته مهر و اسوه صبر و فداکاری

مادر

که زندگیم برایشان همه رنج است و وجودشان برایم همه مهر،

تقدیم به همراه و مشوقم

پریای عزیزم

که حضورش همواره شادی بخش لحظات زندگیم بوده است.

امیدوارم که مقبول پیشگاهتان باشد.

با تقدیر و تشکر از :

استاد راهنمای ارجمند،

جناب آقای دکتر کریم اسدپور زینالی

که در طول مدت تحصیل از محضرشان علم و ادب آموختم.

از خداوند منان برایشان طول عمر با عزت توأم با سلامتی

مسئلت دارم.

با سپاس و تشکر از:

استاد بزرگوار جناب آقای دکتر حسین داستانگو که افتخار بهره مندی از مشاوره ایشان را داشته ام.

استاد بزرگوار جناب آقای دکتر اسماعیل علیپور که زحمت داوری پایان نامه را عهده دار بوده اند.

اساتید فرهیخته و محترم گروه شیمی تجزیه جناب آقایان: دکتر پورنی آذر، دکتر منظوری، دکتر سرورالدین، دکتر مجیدی، دکتر فرج زاده، دکتر امجدی و دکتر ناصری و سایر اساتید محترم دانشکده شیمی که همواره خوشه چین خرمن علم و اخلاقشان بوده ام.

دوستان هم آزمایشگاهی و دانشکده خانمها قلی زاده، هریسی، جعفری، مطهری نژاد، اسفندیاری، جابری و کریمی و آقایان حافظی، ولی پور، سهیلی آزاد، حسن نژاد و محبوبی که همراهی و همکاری همیشگی ایشان دلگرمی من در پیمودن این راه بوده است.

تمام دوستان و همراهانی که در این مدت لطف شان شامل حال بنده بوده و خواسته یا ناخواسته خاطر ایشان را آزده ام.

|   |   |
|---|---|
| نام خانوادگی: نجفی مرندی  | نام: پروانه   |
| عنوان پایان نامه: تهیه الکترود مغز مداد اصلاح شده با فیلم بیسموت و کاربرد آن در الکتروکاتالیز و اندازه گیری برخی ترکیبات آلی  |   |
| استاد راهنما: آقای دکتر کریم اسدپور زینالی  | استاد مشاور: آقای دکتر حسین داستانگو  |
| مقطع تحصیلی: کارشناسی ارشد دانشگاه: تبریز   | رشته: شیمی گرایش: تجزیه   |
| دانشکده: شیمی تعداد صفحه: ۱۳۰   | تاریخ فارغ التحصیلی: ۱۳۸۹/۰۴/۲۶   |
| کلید واژه: الکترودهای اصلاح شده، بیسموت، کوموتريکس، افزایش استاندارد بر مبنای سیگنال خالص آنالیت، طراحی ترکیب مرکزی، مترونیدازول، ۲-نیتروفنول، ۴-نیتروفنول  |   |
| چکیده:  | الکترودهای اصلاح شده با بیسموت (BFE) جایگزین مناسبی برای الکترودهای جیوه می باشند که با وجود داشتن مزایای الکترودهای جیوه، برخلاف آن ها بیسموت جزء مواد دوست دار طبیعت محسوب می شود بنابراین در کار پژوهشی حاضر از روش ex-situ برای اصلاح سطح الکترود مغز مداد استفاده شده است، مغز مداد به دلیل در دسترس بودن و هزینه پایین به عنوان بستر استفاده شده است. |
| به منظور بهینه سازی پارامترهای موثر در تهیه الکترود و اندازه گیری آنالیت از یک روش چند متغیره با عنوان طراحی ترکیب مرکزی (CCD) استفاده شده است، این روش معایب روش یکی در یک زمان را مرتفع می سازد، بدین مفهوم که این روش امکان بررسی پارامترها به طور همزمان و برهمن کنش آن ها بر روی یکدیگر را در تعیین شرایط بهینه وارد نموده و با کاهش تعداد آزمایش ها در زمان و مواد صرفه جویی می شود.  |   |
| از این الکترود به منظور اندازه گیری داروی مترونیدازول در نمونه حقیقی و بیولوژیکی بهره گرفته شده است. بدین منظور از روش های الکتروشیمیایی ولتاوی چرخه ای، ولتاوی پالس تفاضلی و آمپرومتری هیدرودینامیک استفاده شده است. همچنین به دلیل اهمیت حضور ترکیبات نیتروفنولی به طور همزمان به عنوان یک آلینده زیست محیطی بویژه در آب های سطحی از این الکترود برای اندازه گیری همزمان ۲-نیتروفنول و ۴-نیتروفنول به کمک یک روش کوموتريکس با عنوان افزایش استاندارد بر اساس مفهوم سیگنال خالص آنالیت استفاده شده است. این روش به منظور اندازه گیری همزمان ترکیبات و رفع مزاحمت ها ارائه شده است. |   |

## فهرست مطالب

صفحه

عنوان

### فصل اول : بررسی منابع

|    |   |    |
|----|---|----|
| ۱  | ۱-۱-الکترودها و اصلاح آنها.....   | ۱  |
| ۱  | ۱-۱-۱- دلایل اصلاح الکترودها.....   | ۱  |
| ۲  | ۱-۱-۲- روش های اصلاح الکترودها.....   | ۲  |
| ۲  | ۱-۲-۱- معرفهای اصلاح کننده.....   | ۲  |
| ۳  | ۱-۲-۲-۱- الکترودهای اصلاح شده با فیلم بیسموت.....                                       | ۳  |
| ۳  | ۱-۲-۲-۲- مزایای الکترود فیلم بیسموت.....  | ۳  |
| ۴  | ۱-۲-۲-۳- بستر های مورد استفاده در الکترودهای اصلاح شده با بیسموت.....                   | ۴  |
| ۵  | ۱-۳- روش های پوشش دهنی .....  | ۵  |
| ۵  | ۱-۴- روش های پوشش دهنی بستر های BFE .....   | ۵  |
| ۵  | ۱-۴-۱- روش ex-situ plating .....  | ۵  |
| ۵  | ۱-۴-۲- روش in-situ plating .....  | ۵  |
| ۶  | ۱-۴-۳- روش اصلاح توده الکترود .....   | ۶  |
| ۷  | ۱-۵- تمیز سازی الکترود .....  | ۷  |
| ۷  | ۱-۶- استفاده از الکترودهای اصلاح شده با بیسموت در اندازه گیری های الکتروآنالیتیکی ..... | ۷  |
| ۱۳ | ۱-۷- کمومتریکس .....  | ۱۳ |
| ۱۴ | ۱-۸- بهینه سازی .....   | ۱۴ |
| ۱۴ | ۱-۸-۱- بهینه سازی و اهداف آن .....  | ۱۴ |
| ۱۵ | ۱-۸-۲- انواع روش های بهینه سازی .....   | ۱۵ |
| ۲۰ | ۱-۹- روش های کالیبراسیون .....  | ۲۰ |
| ۲۰ | ۱-۹-۱- کالیبراسیون کلاسیک (تک متغیره) .....   | ۲۰ |
| ۲۰ | ۱-۹-۲- کالیبراسیون چند متغیره .....   | ۲۰ |

|   |   |
|---|---|
| ۱-۲-۹-۱- سیگنال خالص آنالیت .....<br>۲۱                         | ۱ |
| ۱-۲-۹-۲- روش های مبتنی بر سیگنال خالص آنالیت .....<br>۲۲        | ۱ |
| ۱-۱۰-۱- مترونیدازول .....<br>۲۴                                 | ۱ |
| ۱-۱۰-۱-۱- مترونیدازول و خواص آن .....<br>۲۴                     | ۱ |
| ۱-۱۰-۱-۲- روش های اندازه گیری مترونیدازول .....<br>۲۵           | ۱ |
| ۱-۱۱-۱- ترکیبات نیتروفنولی .....<br>۳۱                          | ۱ |
| ۱-۱۱-۱-۱- ترکیبات نیتروفنولی و خواص آنها .....<br>۳۱            | ۱ |
| ۱-۱۱-۱-۲- روش های اندازه گیری ترکیبات نیتروآروماتیک .....<br>۳۳ | ۱ |
| ۱-۱۲-۱- اهداف کار پژوهشی حاضر .....<br>۳۶                       | ۱ |

## فصل دوم : بخش تجربی

|   |   |
|---|---|
| ۲-۱- معرفها و مواد شیمیایی .....<br>۳۹                            | ۲ |
| ۲-۲- تهیه محلول ها .....<br>۴۰                                    | ۲ |
| ۲-۲-۱- محلول مادر نیتروفنول .....<br>۴۰                           | ۲ |
| ۲-۲-۲- محلول مادر مترونیدازول .....<br>۴۰                         | ۲ |
| ۲-۲-۳- محلول بافر بربتون- رابینسون .....<br>۴۰                    | ۲ |
| ۲-۲-۴- محلول بافر استات .....<br>۴۱                               | ۲ |
| ۲-۲-۵- محلول نمک بیسموت نیترات .....<br>۴۱                        | ۲ |
| ۲-۲-۶- تهیه محلول مادر دارویی قرص مترونیدازول .....<br>۴۱         | ۲ |
| ۲-۲-۷- تهیه محلول حقیقی مترونیدازول از سرم خون انسانی .....<br>۴۱ | ۲ |
| ۲-۷-۱- پروتئین زدایی از نمونه .....<br>۴۲                         | ۲ |
| ۳-۲- تجهیزات و دستگاه ها .....<br>۴۲                              | ۲ |
| ۴-۲- نرم افزارهای مورد استفاده .....<br>۴۳                        | ۲ |
| ۵-۲- روش کلی اجرای آزمایش ها .....<br>۴۳                          | ۲ |
| ۵-۲-۱- اصلاح الکترود .....<br>۴۳                                  | ۲ |
| ۵-۲-۲- بررسی های ولتاوری چرخه ای .....<br>۴۴                      | ۲ |

## فصل سوم : نتایج و بحث

|   |    |
|---|----|
| ۳-۵-۲- ولتامتری پالس تفاضلی .....   | ۴۴ |
| ۳-۱- مطالعه و بررسی رفتار الکتروشیمیایی مترونیدازول بر روی الکترود مغز مداد اصلاح شده با بیسموت ..... | ۴۵ |
| ۳-۲- مقایسه رفتار الکتروشیمیایی الکترودمغز مداد اصلاح شده با بیسموت والکترود کربن شیشه‌ای ...         | ۴۶ |
| ۳-۳- بهینه سازی پارامترها .....   | ۴۷ |
| ۳-۳-۱- بهینه سازی چند متغیری پارامترهای مؤثر در تهیه الکترود .....                                    | ۴۷ |
| ۳-۳-۲- بهینه سازی با طراحی ترکیب مرکزی .....  | ۴۸ |
| ۳-۳-۳- ارزیابی مدل برای بهینه سازی .....  | ۵۱ |
| ۳-۳-۴- تهیه الکترود به روش ترسیب با روش پتانسیوستایی: .....   | ۵۲ |
| ۳-۳-۵- تهیه الکترود به روش ترسیب فیلم Bi فلزی به شیوه ولتامتری چرخه‌ای .....                          | ۶۴ |
| ۳-۳-۶- مقایسه نتایج حاصل از تهیه الکترود به دو روش ولتامتری چرخه‌ای و کرونوآمپری .....                | ۶۶ |
| ۳-۴- بهینه سازی پارامترهای مؤثر بر رفتار الکتروشیمیایی مترونیدازول .....                              | ۶۹ |
| ۳-۵- بررسی های مبتنی بر ولتامتری چرخه‌ای .....  | ۷۲ |
| ۳-۵-۱- تاثیر سرعت روبش پتانسیل .....  | ۷۲ |
| ۳-۵-۲- بررسی پایداری سطح الکترود مغز مداد اصلاح شده با بیسموت .....                                   | ۷۴ |
| ۳-۵-۳- بررسی تکرار پذیری پاسخ الکترود اصلاح شده با بیسموت در قبال احیای مترونیدازول .....             | ۷۵ |
| ۳-۵-۴- رفتار ولتامتری چرخه‌ای الکترود مغز مداد اصلاح شده با بیسموت .....                              | ۷۶ |
| ۳-۶- بررسی های مبتنی بر دیفرانسیل پالس ولتامتری .....   | ۷۸ |
| ۳-۷- بررسی های مبتنی بر آمپرومتری هیدرودینامیک .....  | ۷۹ |
| ۳-۸- تعیین حد تشخیص (LOD) .....   | ۸۲ |
| ۳-۸-۱- تعیین حد تشخیص روش ولتامتری چرخه‌ای .....  | ۸۳ |
| ۳-۸-۲- تعیین حد تشخیص روش ولتامتری پالس تفاضلی .....  | ۸۵ |
| ۳-۸-۳- تعیین حد تشخیص روش آمپرومتری .....   | ۸۶ |
| ۳-۹- اندازه گیری مترونیدازول در نمونه حقیقی .....   | ۸۷ |

|   |     |
|---|-----|
| ۱-۹-۳- اندازه گیری مترونیدازول در فرآورده دارویی(قرص) به روش دیفرانسیل پالس ولتامتری                        | ۸۷  |
| ۱۰-۳- بررسی صحت روش   | ۸۹  |
| ۱-۱۰-۳- اندازه گیری مترونیدازول در قرص اسپایک شده   | ۹۰  |
| ۲-۱۰-۳- بررسی صحت روش سرم اسپایک شده  | ۹۰  |
| ۱۱-۳- مطالعه رفتار الکتروشیمیایی نیتروفنولها بر روی الکترود مغز مداد اصلاح شده با بیسموت ...                | ۹۱  |
| ۱۲-۳- بهینه سازی پارامترهای مؤثر بر رفتار الکتروشیمیایی ۲- نیتروفنول و ۴- نیتروفنول                         | ۹۴  |
| ۱۳-۳- بررسی رفتار ۲- نیتروفنول و ۴- نیتروفنول بر روی الکترود مغز مداد اصلاح شده به روش ولتامتری پالس تفاضلی | ۹۹  |
| ۱۴-۳- بررسی جمع پذیری پلاروگرام های ۲- نیتروفنول و ۴- نیتروفنول   | ۹۹  |
| ۱۵-۳- محدوده خطی غلظتی ۲- نیتروفنول و ۴- نیتروفنول  | ۱۰۰ |
| ۱۶-۳- روش NAS-SAM   | ۱۰۳ |
| ۱-۱۶-۳- ارائه روش NAS-SAM برای اندازه گیری همزمان و کاربرد آن بر روی داده ها                                | ۱۰۳ |
| ۲-۱۶-۳- حد تشخیص  | ۱۱۳ |
| ۱۷-۳- اندازه گیری نمونه حقیقی   | ۱۱۶ |
| نتیجه گیری  | ۱۱۸ |
| پیشنهاداتی جهت ادامه این کار پژوهشی   | ۱۲۰ |
| منابع   | ۱۲۱ |

## فهرست شکلها

| عنوان شکلها  |  |
|--|--|
| صفحه   |  |
| شکل (۱-۱) تصویر AFM از سطح BDD (a) مطح قیل از ته نشینی (b) بعد از ته نشینی ..... ۹   |  |
| شکل (۲-۱) ولتاموگرام چرخه ای ۴-نیتروفنول (a) بستر GCE (b) بستر اصلاح شده با Bi ..... ۱۰  |  |
| شکل (۳-۱) شکل فتولیتوگرافی تشکیل منسور Bi کاتدپرانی شده ..... ۱۲   |  |
| شکل (۴-۱) طراحی ترکیب مرکزی برای بهینه سازی (a) دو فاکتوره و (b) سه فاکتوره ..... ۱۸   |  |
| شکل (a-۵-۱) طراحی ترکیب مرکزی ..... ۱۸   |  |
| شکل (b-۵-۱) طراحی ترکیب مرکزی ..... ۱۹   |  |
| شکل (۶-۱) سیگنال خالص آنالیت بعنوان بعضی از طیف آنالیت بدون دخالت دیگر گونه ها ..... ۲۲  |  |
| شکل (۷-۱) ساختار مولکولی مترونیدازول ..... ۲۴  |  |
| شکل (۸-۱) طرح احیای الکتروشیمیایی مترونیدازول در سطح الکترود اصلاح شده با DNA ..... ۲۶   |  |
| شکل (۹-۱) ولتاموگرام پالس تفاضلی مترونیدازول (A) DNA-GCE (B) MFE با دو دقیقه پیش تغليظ GCE (C) DNA-GCE بدون پیش تغليظ ..... ۲۶ |  |
| شکل (۱۰-۱) LSV مترونیدازول (a) GCE فعال شده (b) GCE فعال نشده ..... ۲۷   |  |
| شکل (۱۱-۱) ولتاموگرام چرخه ای مترونیدازول بر روی HMDE در (A) pH=8.9 (B) بافر سیترات / pH=7.4 ..... ۲۸                          |  |
| شکل (۱۲-۱) ولتاموگرام چرخه ای مترونیدازول در بافر سیترات بر روی GCE ..... ۲۹   |  |
| شکل (۱۳-۱) ولتاموگرام چرخه ای مترونیدازول بر روی الکترود (A) GCE (B) DNA/GCE ..... ۳۰  |  |
| شکل (۱۴-۱) (a) پارانیتروفنول، (b) اورتونیتروفنول ..... ۳۲  |  |
| شکل (۱۵-۱) واکنش الکتروشیمیایی نیتروفنول ها ..... ۳۳   |  |
| شکل (۱۶-۱) ولتاموگرام چرخه ای (a) نیترو بنزن، (b) ۴-نیتروفنول بر روی میکروالکترود طلا ..... ۳۴                                 |  |
| شکل (۱۷-۱) مکانیسم الکتروشیمیایی و ولتاموگرام چرخه ای نیتروفنول ..... ۳۵   |  |
| شکل (۱۸-۱) ولتاموگرام چرخه ای پارانیتروفنول (pH=8) بر روی HAP-CPE ..... ۳۶   |  |

|   |
|---|
| شکل (۱-۳) ولتاوری چرخه ای بر روی الکترودهای (a) مغز مداد اصلاح نشده (b) مغز مداد اصلاح نشده در حضور مترونیدازول (c) مغز مداد اصلاح شده با بیسموت در حضور مترونیدازول ..... ۴۶ |
| شکل (۲-۳) ولتاومگرام های چرخه ای مترونیدازول در بافر بریتون راینسون (a) الکترود مغز مداد اصلاح شده (b) الکترود کربن شبشه ای ..... ۴۷  |
| شکل (۳-۳) تغییرات پاسخ نسبت به pH و زمان ترسیب (t) ..... ۵۲   |
| شکل (۴-۳) تغییرات پاسخ نسبت به pH و غلظت $\text{Bi}^{3+}$ ..... ۵۳  |
| شکل (۵-۳) تغییرات پاسخ نسبت به pH و پتانسیل ترسیب (V) ..... ۵۴  |
| شکل (۶-۳) تغییرات پاسخ نسبت به V و t ..... ۵۵   |
| شکل (۷-۳) تغییرات پاسخ نسبت به غلظت (C) و زمان (t) ..... ۵۶   |
| شکل (۸-۳) تغییرات پاسخ نسبت به غلظت (C) و پتانسیل ترسیب (V) ..... ۵۷  |
| شکل (۹-۳) تأثیر دو پارامتر pH و V بر I ..... ۵۹   |
| شکل (۱۰-۳) تأثیر دو پارامتر pH و C بر I ..... ۵۹  |
| شکل (۱۱-۳) تأثیر دو پارامتر pH و t بر I ..... ۵۹  |
| شکل (۱۲-۳) تأثیر دو پارامتر t و V بر I ..... ۶۰   |
| شکل (۱۳-۳) تأثیر دو پارامتر t و C بر I ..... ۶۰   |
| شکل (۱۴-۳) تأثیر دو پارامتر V و C بر I ..... ۶۰   |
| شکل (۱۵-۳) کرونوآمپروگرام بیسموت در بافر بریتون-راینسون و غلظت $M\text{m}\text{l}/0.1$ ..... ۶۱   |
| شکل (۱۶-۳) کرونوآمپروگرام ترسیب بیسموت بر روی الکترود مغز مداد از محلول شامل (a) تا (g) ..... ۲۰  |
| میلی مولار از $\text{Bi}^{3+}$ ..... ۶۲   |
| شکل (۱۷-۳) ولتاومگرام الکترود مغز مداد در محلول حاوی بیسموت در بافر بریتون-راینسون ..... ۶۴   |
| شکل (۱۸-۳) ولتاومگرام الکترود مغز مداد بیسموت در محلول حاوی بافر بریتون-راینسون ..... ۶۴  |
| شکل (۱۹-۳) ولتاومگرام های چرخه ای الکترود مغز مداد در محلول $\text{Bi}^{3+}$ در غلظتها (a), (b), (c), (d), (e), (f) و (g) ..... ۰/۰۱ میلی مولار ..... ۶۵                      |
| شکل (۲۰-۳) ولتاومگرام چرخه ای الکترود مغز مداد اصلاح شده با بیسموت فلزی به روش (a) پتانسیوستاتیک، (b) ولتاوری چرخه ای ..... ۶۷  |

|   |    |
|---|----|
| شکل (۲۱-۳) شرایط ۴ از جدول طراحی ترکیب مرکزی .....  | ۶۷ |
| شکل (۲۲-۳) شرایط ۶ از جدول طراحی ترکیب مرکزی .....  | ۶۷ |
| شکل (۲۳-۳) شرایط ۸ از جدول طراحی ترکیب مرکزی .....  | ۶۸ |
| شکل (۲۴-۳) شرایط ۱۰ از جدول طراحی ترکیب مرکزی .....   | ۶۸ |
| شکل (۲۵-۳) شرایط ۱۲ از جدول طراحی ترکیب مرکزی .....   | ۶۸ |
| شکل (۲۶-۳) شرایط ۱۴ از جدول طراحی ترکیب مرکزی .....   | ۶۸ |
| شکل (۲۷-۳) شرایط ۱۵ از جدول طراحی ترکیب مرکزی .....   | ۶۸ |
| شکل (۲۸-۳) شرایط ۱۶ از جدول طراحی ترکیب مرکزی .....   | ۶۸ |
| شکل (۲۹-۳) تغییرات پاسخ نسبت به pH و سرعت رویش .....  | ۷۲ |
| شکل (۳۰-۳) ولتاوگرام های چرخه ای مترونیدازول $10^5 M$ در سرعتهای رویش a تا j .....  | ۷۳ |
| شکل (۳۱-۳) نمودار تغییرات جریان دماغه بر حسب سرعت رویش پتانسیل برای ولتاوگرام های ثبت شده (شکل ۳۰-۳) .....  | ۷۴ |
| شکل (۳۲-۳) نمودار تغییرات جریان دماغه بر حسب مجدور سرعت رویش پتانسیل برای ولتاوگرام های ثبت شده (شکل ۳۰-۳) .....  | ۷۴ |
| شکل (۳۳-۳) نمودار تغییرات جریانهای دماغه حاصل از احیا مترونیدازول $5 \times 10^5 M$ بر روی الکترود مغز مداد اصلاح شده با Bi در فواصل زمانی مختلف در بافر بربتون- راینسون-4 pH=4 ..... | ۷۵ |
| شکل (۳۴-۳) ولتاوگرام چرخه ای پس از هشت مرتبه هم زدن در حضور مترونیدازول $5 \times 10^5 M$ .....   | ۷۶ |
| شکل (۳۵-۳) ولتاوگرامهای چرخه ای الکترود مغز مداد اصلاح شده در حضور غلظتهای مختلف از مترونیدازول به ترتیب (a-j) .....  | ۷۷ |
| شکل (۳۶-۳) نمودار تغییرات جریان دماغه کاتدی بر حسب غلظتهای مترونیدازول برای ولتاوگرامهای شکل (۳۵-۳) .....   | ۷۷ |
| شکل (۳۷-۳) ولتاوگرام های پالس تفاضلی الکترود مغز مداد اصلاح شده با Bi در حضور غلظتهای مختلف از مترونیدازول .....  | ۷۸ |
| شکل (۳۸-۳) نمودار تغییرات جریان دماغه کاتدی بر حسب غلظت مترونیدازول برای پالس ولتاوگرامهای ثبت شده در شکل (۳۷-۳) .....  | ۷۹ |

|   |     |
|---|-----|
| شکل (۳۹-۳) آمپروگرام هیدرودینامیک به دست آمده برای احیا الکتروکاتالیتیکی مترونیدازول.....   | ۸۰  |
| شکل (۴۰-۳) آمپروگرام هیدرودینامیک به دست آمده برای مترونیدازول در سطح الکترود اصلاح شده در محدوده غلظتی بعدی .....  | ۸۱  |
| شکل (۴۱-۳) نمودار معیارگیری آمپروگرام شکل های (۳۹-۳) و (۴۰-۳).....  | ۸۱  |
| شکل (۴۲-۳) ولتاوموگرام های پالس تفاضلی اندازه گیری قرص مترونیدازول به روش افزایش استاندارد حاصل از سه بار افزایش.....   | ۸۷  |
| شکل (۴۳) نمودار معیارگیری مربوط به افزایش استاندارد حاصل از سه مرحله افزایش محلول استاندارد مترونیدازول بر روی محلول فرآورده دارویی با غلظت مجھول .....   | ۸۸  |
| شکل (۴۴-۳) ولتاوموگرام چرخه ای الکترود مغز مداد درون الکتروولیت حاوی شامل بافر بربیتون- راینسون $pH=5$ و سرعت روش $100\text{ mVs}^{-1}$ (a) در غیاب (b) در حضور ۲-نیتروفنول.....  | ۹۱  |
| شکل (۴۵-۳) ولتاوموگرام چرخه ای الکترود مغز مداد درون الکتروولیت حاوی شامل بافر بربیتون- راینسون $pH=5$ و سرعت روش $100\text{ mVs}^{-1}$ (a) در غیاب، (b) در حضور ۴-نیتروفنول.....   | ۹۲  |
| شکل (۴۶-۳) ولتاوموگرام چرخه ای بر روی الکترودهای (a) مغز مداد اصلاح شده در بافر (b) مغز مداد اصلاح نشده در حضور ۲-نیتروفنول، (c) مغز مداد اصلاح شده در حضور ۲-نیتروفنول.....  | ۹۳  |
| شکل (۴۷-۳) ولتاوموگرام چرخه ای محلول الکتروولیت حامل شامل بافر بربیتون- راینسون با $pH=5$ و سرعت روش $100\text{ mVs}^{-1}$ بر روی الکترودهای(a) مغز مداد اصلاح شده، (b) مغز مداد اصلاح نشده در حضور ۴-نیتروفنول، (c) مغز مداد اصلاح نشده در حضور ۴-نیتروفنول..... | ۹۳  |
| شکل (۴۸-۳) تغییرات پاسخ (E) نسبت به $pH$ و سرعت روش .....   | ۹۷  |
| شکل (۴۹-۳) تغییرات پاسخ (I) نسبت به $pH$ و سرعت روش .....   | ۹۷  |
| شکل (۵۰-۳) تغییرات پاسخ (I) نسبت به $pH$ و سرعت روش .....   | ۹۸  |
| شکل (۵۱-۳) تغییرات پاسخ (E) نسبت به $pH$ و سرعت روش .....   | ۹۸  |
| شکل (۵۲) ولتاوموگرام پالس تفاضلی(a)-۲-نیتروفنول و(b)-۴-نیتروفنول(c) مخلوط این دو.....   | ۹۹  |
| شکل (۵۳-۳) ولتاوموگرام پالس تفاضلی حاصل از ۲-نیتروفنول و ۴-نیتروفنول، مخلوط این دو ایزومر و مجموع ریاضی آنها.....   | ۱۰۰ |
| شکل (۵۴-۳) DPV نحاصل از افزایش غلظت ۲-نیتروفنول .....   | ۱۰۱ |

|           |   |
|-----------|---|
| ..... ۱۰۱ | شکل (۳-۵۵) نمودار جریان دماغه بر حسب غلظت برای ولتاومگرام های شکل (۳-۵۴)  |
| ..... ۱۰۲ | شکل (۳-۵۶) حاصل از افزایش غلظت ۴-نیتروفنول.....   |
| ..... ۱۰۲ | شکل (۳-۵۷) نمودار جریان دماغه بر حسب غلظت برای ولتاومگرام های شکل (۳-۵۶).   |
| ..... ۱۰۳ | شکل (۳-۵۸) بردار NAS مزاحم (گونه B)   |
| ..... ۱۰۴ | شکل (۳-۵۹) بردار NAS آنالیت (گونه A)  |
| ..... ۱۰۴ | شکل (۳-۶۰) تغییرات زاویه بین تک تک بردارها و مجموع آنها پس از افزایش استاندارد (۴) زاویه مربوط به آنالیت، (۲) گونه مزاحم..... |
| ..... ۱۰۵ | شکل (۳-۶۱) نمودار مربوط به طول بردار NAS بعد از افزایش استاندارد.....   |
| ..... ۱۰۶ | شکل (۳-۶۲) افزایش جریان با افزایش غلظت ۴-نیتروفنول(آنالیت) و تغییرات NAS برای گونه آنالیت و مزاحم(۲-نیتروفنول).....           |
| ..... ۱۰۷ | شکل (۳-۶۳) افزایش جریان با افزایش غلظت آنالیت و تغییرات NAS برای گونه آنالیت و مزاحم.....                                     |
| ..... ۱۰۹ | شکل (۳-۶۴) افزایش جریان با افزایش غلظت آنالیت(۲-نیتروفنول) و تغییرات NAS برای گونه آنالیت و مزاحم(۴-نیتروفنول).....           |
| ..... ۱۱۰ | شکل (۳-۶۵) افزایش جریان با افزایش غلظت آنالیت و تغییرات NAS برای گونه آنالیت و مزاحم.....                                     |
| ..... ۱۱۱ | شکل (۳-۶۶) نمودار برای اندازه گیری ۴-نیتروفنول در حضور ۲-نیتروفنول.....   |
| ..... ۱۱۲ | شکل (۳-۶۷) نمودار برای اندازه گیری ۲-نیتروفنول در حضور ۴-نیتروفنول.....   |
| ..... ۱۱۷ | شکل (۳-۶۸) اسپایک جهت اندازه گیری غلظت ۲-نیتروفنول.....   |

## فهرست جداول

| صفحه | عنوان جداولها   |
|------|---|
| ۳۳   | جدول (۱-۱) خواص فیزیکی و شیمیایی ۲-نیترو و ۴-نیتروفنول.....     |
| ۳۹   | جدول (۱-۲) معرف ها و مواد شیمیایی.....                          |
| ۴۹   | جدول (۱-۳) عوامل مورد بهینه سازی توسط نرم افزار MINITAB.....    |
| ۵۰   | جدول (۲-۳) سطوح مورد بررسی برای عوامل مؤثر روی سیستم.....       |
| ۵۰   | جدول (۳-۳) جدول طراحی ترکیب مرکزی.....                          |
| ۵۱   | (جدول ۳-۴) جریان پتانسیل دماغه برای آزمایش های بهینه سازی ..... |

|   |  |
|---|--|
| جدول (۵-۳) جدول طراحی ترکیب مرکزی .....<br>6۳   |  |
| جدول (۶-۳) سطوح مورد بررسی برای عوامل مؤثر روی سیستم اندازه گیری مترونیدازول به روش ولتامتری<br>چرخه ای .....<br>7۰             |  |
| جدول (۷-۳) جدول طراحی ترکیب مرکزی .....<br>7۱   |  |
| جدول (۸-۳) داده های حاصل از نمودار معیارگیری ولتامتری آماری آنها .....<br>8۴  |  |
| جدول (۹-۳) داده های حاصل از نمودار معیارگیری ولتامتری پالس تفاضلی و پردازش آماری آنها .....<br>8۵                               |  |
| جدول (۱۰-۳) داده های حاصل از نمودار معیارگیری آمپرومتری و پردازش آماری آنها .....<br>8۶   |  |
| جدول (۱۱-۳) نتایج حاصل از سه بار آزمایش اندازه گیری ولتامتری پالس تفاضلی قرص مترونیدازول به روش<br>افزایش استاندارد .....<br>8۸ |  |
| جدول (۱۲-۳) نتایج اندازه گیری نمونه حقیقی .....<br>9۱   |  |
| جدول (۱۳) سطوح مورد بررسی برای عوامل موثر روی سیستم .....<br>9۴   |  |
| جدول (۱۴-۳) جدول طراحی ترکیب مرکزی برای ۲-نیتروفنول .....<br>9۵   |  |
| جدول (۱۵-۳) جدول طراحی ترکیب مرکزی برای ۴-نیتروفنول .....<br>9۶   |  |
| جدول (۱۶) جدول مربوط به خطای به دست آمده برای اندازه گیری ۴-نیتروفنول در حضور<br>۲-نیتروفنول .....<br>1۱۲                       |  |
| جدول (۱۷) : جدول مربوط به خطای به دست آمده برای اندازه گیری ۲-نیتروفنول در حضور<br>۴-نیتروفنول .....<br>1۱۳                     |  |
| جدول (۱۸) داده های حاصل از نمودار معیارگیری ولتامتری پالس تفاضلی برای ۲-نیتروفنول .....<br>1۱۴                                  |  |
| جدول (۱۹) داده های حاصل از نمودار معیارگیری ولتامتری پالس تفاضلی برای ۴-نیتروفنول .....<br>1۱۵                                  |  |

**فصل اول**

**بررسی  
نمایه**

## ۱- مقدمه

### ۱-۱- الکترودها و اصلاح آنها

در واکنش های الکتروشیمیایی الکترود در نقش واسطه ای برای انتقال الکترونها عمل می کند یک الکترود ایده آل بایستی دارای شرایطی از قبیل پایداری مکانیکی، غیرفعال بودن شیمیایی، محدوده وسیع پتانسیلی و سطح تکرارپذیری بالا باشد.

از جمله زمینه های مطرح در الکتروشیمی، الکترودهای اصلاح شده شیمیایی<sup>۱</sup> می باشند که از دهه ۱۹۷۰ در علم الکتروشیمی مطرح شده و تاکنون دستخوش تغییرات فراوانی شده اند. اصلاح الکترود به معنای پوشاندن سطح الکترود با لایه ای از یک ترکیب شیمیایی به منظور تغییر رفتار الکتروشیمیایی الکترود است که در صورت انتخاب اصلاحگر<sup>۲</sup> مناسب، کارآیی الکترود بهبود می یابد [۱].

### ۱-۱-۱- دلایل اصلاح الکترودها

اصلاح سطح الکترود سبب افزایش سرعت فرآیندهای الکتروشیمیایی شده و در حالت کلی باعث الکتروکاتالیز واکنش های الکتروشیمیایی می گردد [۲]. خاصیت الکتروکاتالیتیکی این دسته الکترودها موجب می شود تا بسیاری از گونه ها در نزدیکی پتانسیل های ترمودینامیکی خود اکسید یا احیا شوند. بسیاری از معضلات نظری رفتارهای برگشت ناپذیر و یا شبه برگشت پذیر و انتقالات کند الکترونی و یا نیاز به ولتاژ اضافی از طریق استفاده از الکترود با سطح اصلاح شده حل می گردد، در نتیجه افزایش سرعت فرایند انتقال بار (الکتروکاتالیز) فراهم می گردد.

<sup>1</sup>- Chemically modified electrodes (CMEs)

<sup>2</sup>- Modifier

### ۱-۱-۲- روش های اصلاح الکتروودها

سه روش عمده برای اصلاح الکتروودها مطرح است. اولین مورد روش برون محل<sup>۱</sup> می باشد.

در این روش الکتروود قبل از آنکه وارد محلول نمونه گردد، سطح آن اصلاح می شود [۱] یعنی بعد از قرار دادن الکتروود اولیه به مدت زمان مشخص داخل محلول اصلاحگر و انجام فرآیندهای لازم از این محلول خارج گردیده و اصلاحگر به طریقه جذب شیمیایی و یا تشکیل پیوندهای کووالانسی و یا الکترووته نشینی روی سطح الکتروود اتصال می یابد [۲-۵].

دومین روش برای اصلاح الکتروودها روش درجا<sup>۲</sup> می باشد. در این روش اصلاحگرهای مختلفی با محدوده غلظتی مشخص به طور مستقیم بر روی محلول نمونه واقع در سل الکترووشیمیایی افزوده می شوند و اصلاحگر در حین آنالیز روی سطح الکتروود نشانده می شود. برای مثال در تکنیک عاری سازی آندی ترسیب همزمان یون بیسموت به عنوان اصلاحگر روی سطح الکتروود برای شناسایی ایندیم، سرب و کادمیم مورد استفاده قرار گرفته است [۵].

روش سوم روش اصلاح ساختار توده ای الکتروود است. در این مورد اصلاحگر با پودر گرافیت آغشته و ترکیب می شود و اصلاحگر به درون بافت الکتروود وارد می گردد به این ترتیب سطح الکتروود را می توان با هر بار پولیش دادن تجدید نمود [۱].

### ۱-۲- معرفهای اصلاح کننده

از مواد مختلفی نظری اکسیدهای فلزی [۵-۸]، ذرات فلزی واسطه [۹-۱۱]، زئولیتها [۹-۱۵]، ترکیبات آلی متنوع [۱۲] و پلیمرهای ردوکس و پلیمرهای هادی [۱۶-۱۷] و یا روش های ترکیبی آنها و سایر مواد به منظور اصلاح سطح الکتروود استفاده شده اند.

<sup>۱</sup> - Ex-situ

<sup>۲</sup> - In-situ